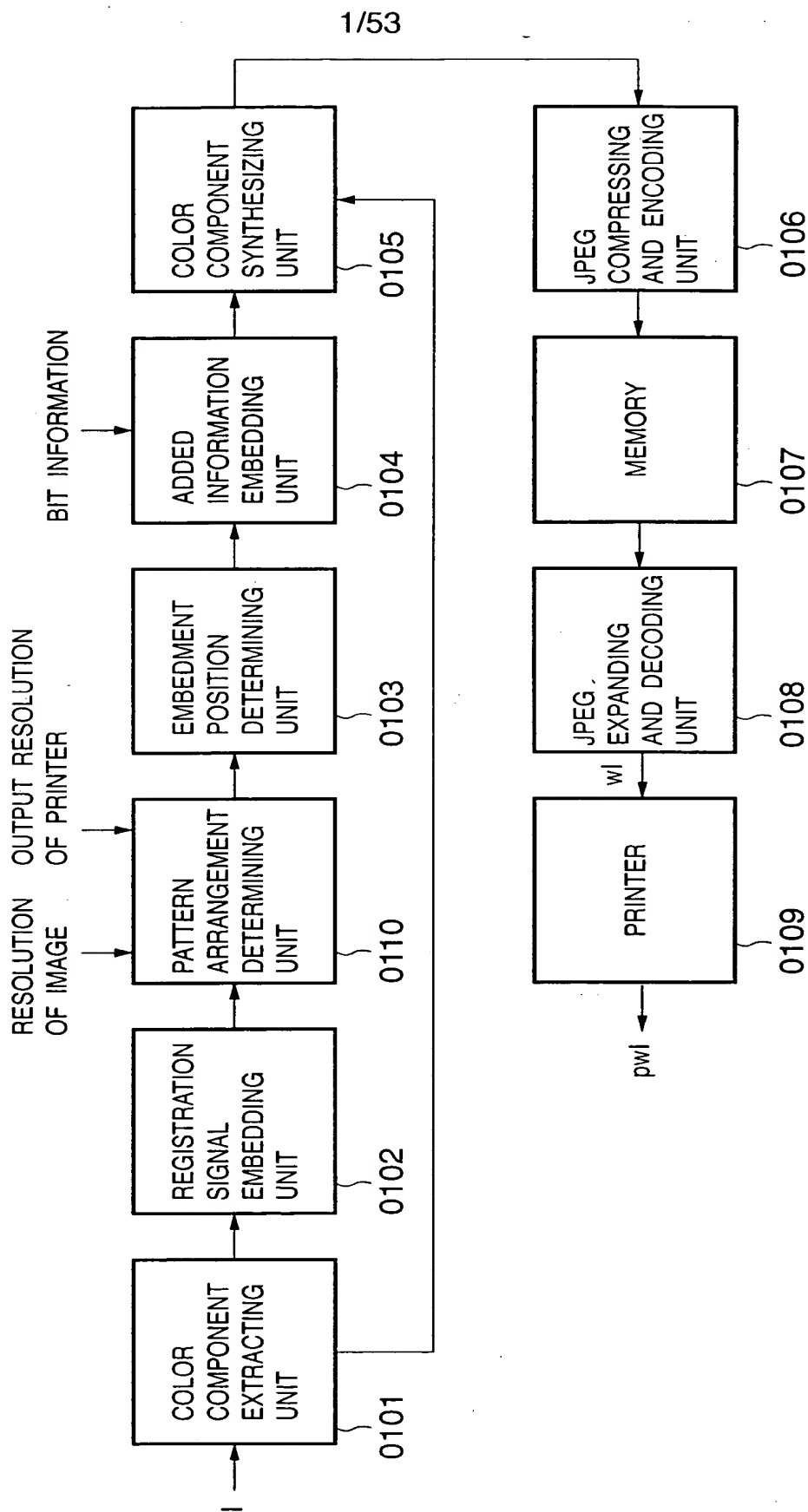


FIG. 1



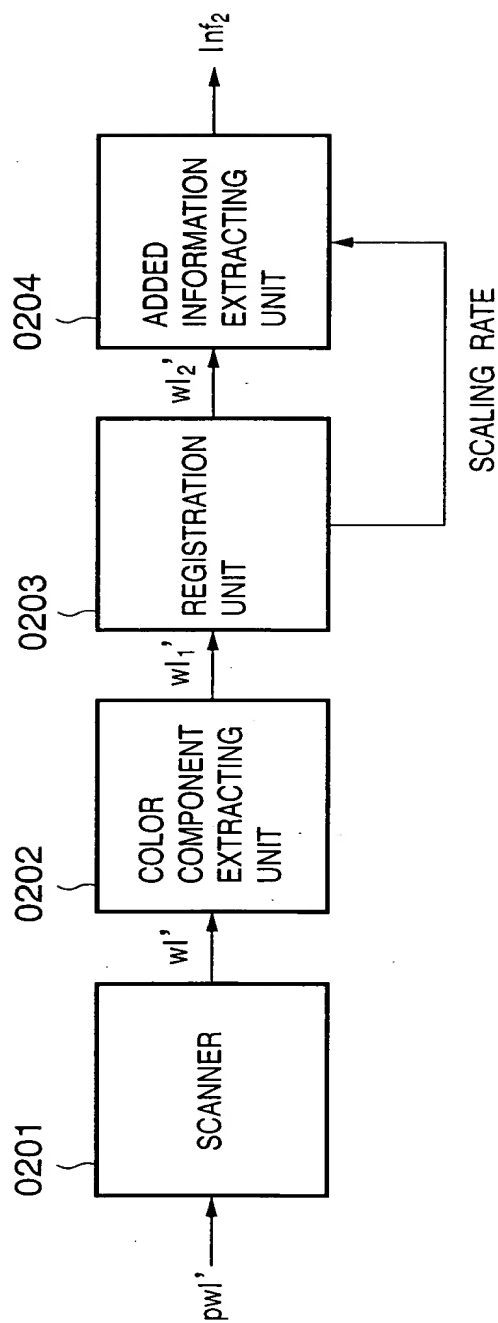


FIG. 3

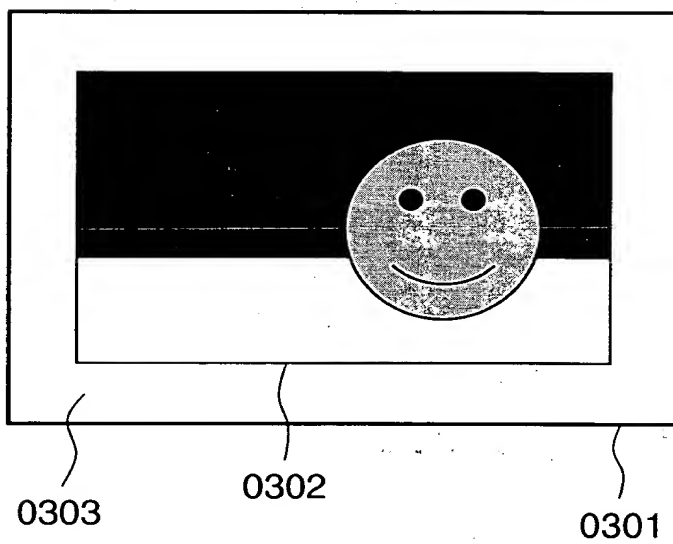


FIG. 4

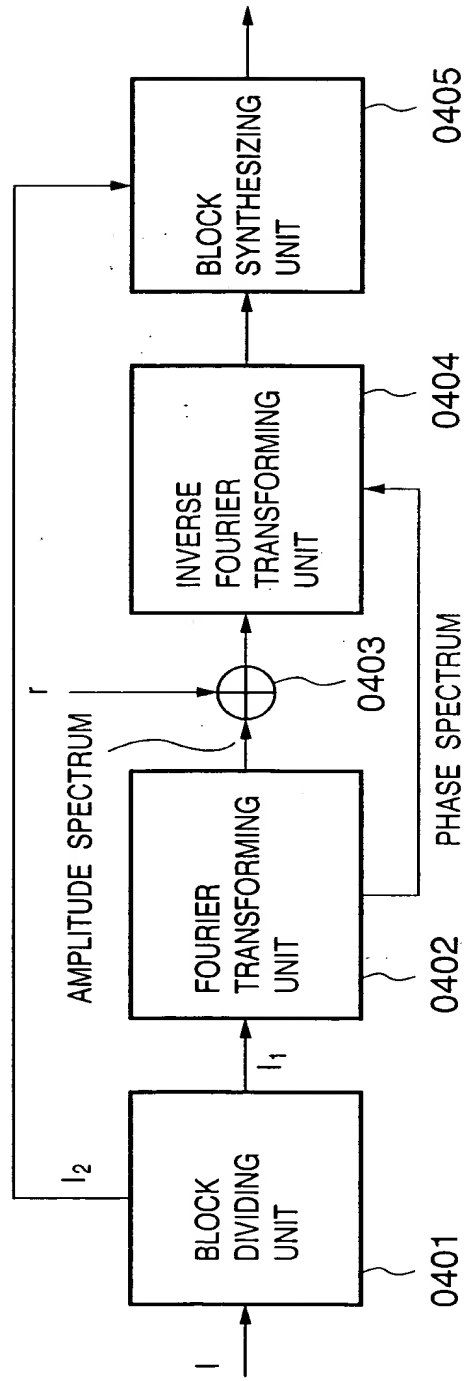


FIG. 5

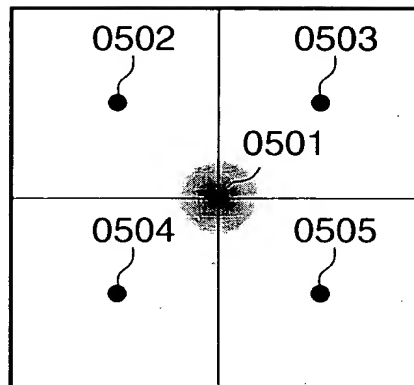


FIG. 6

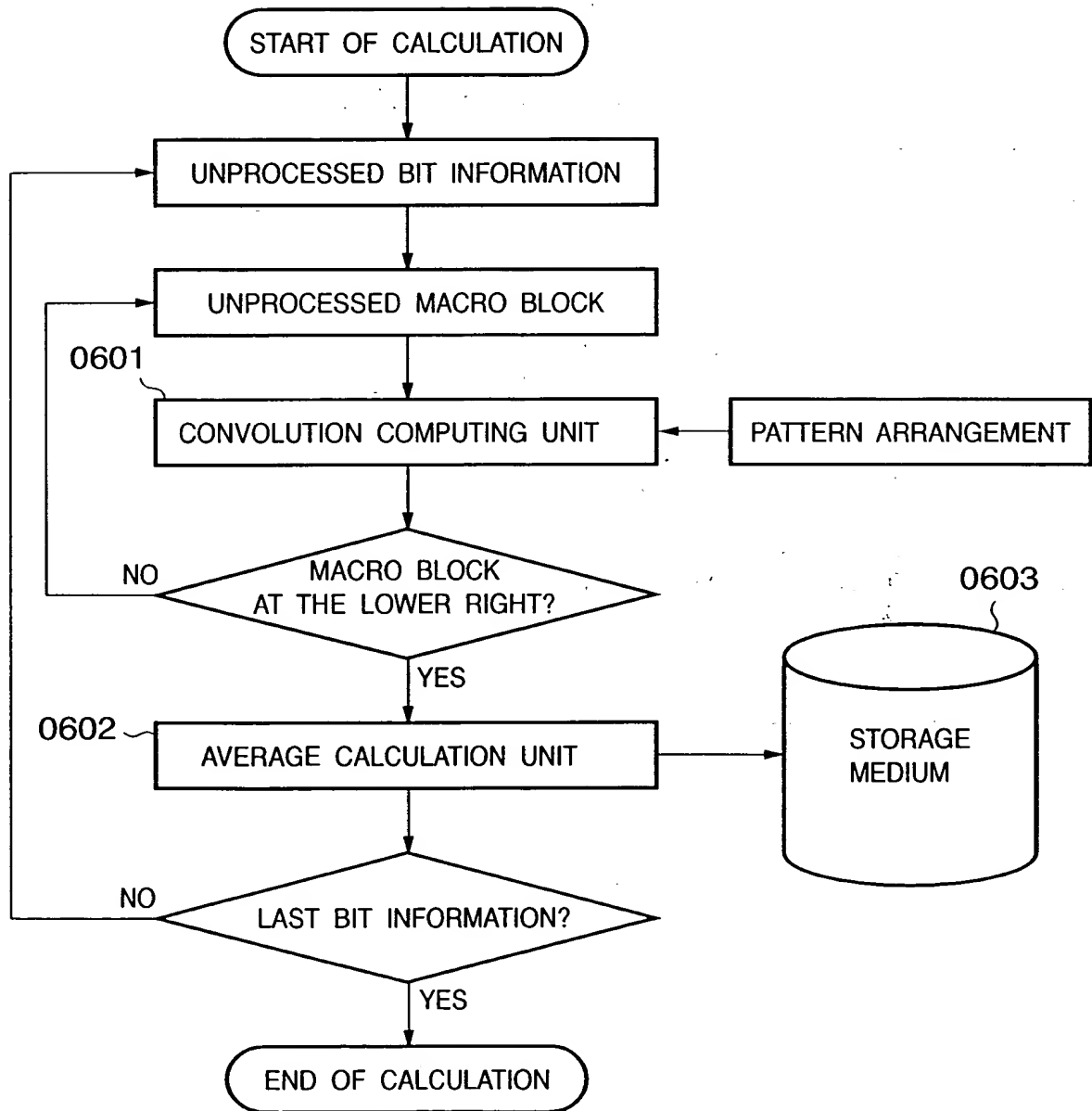
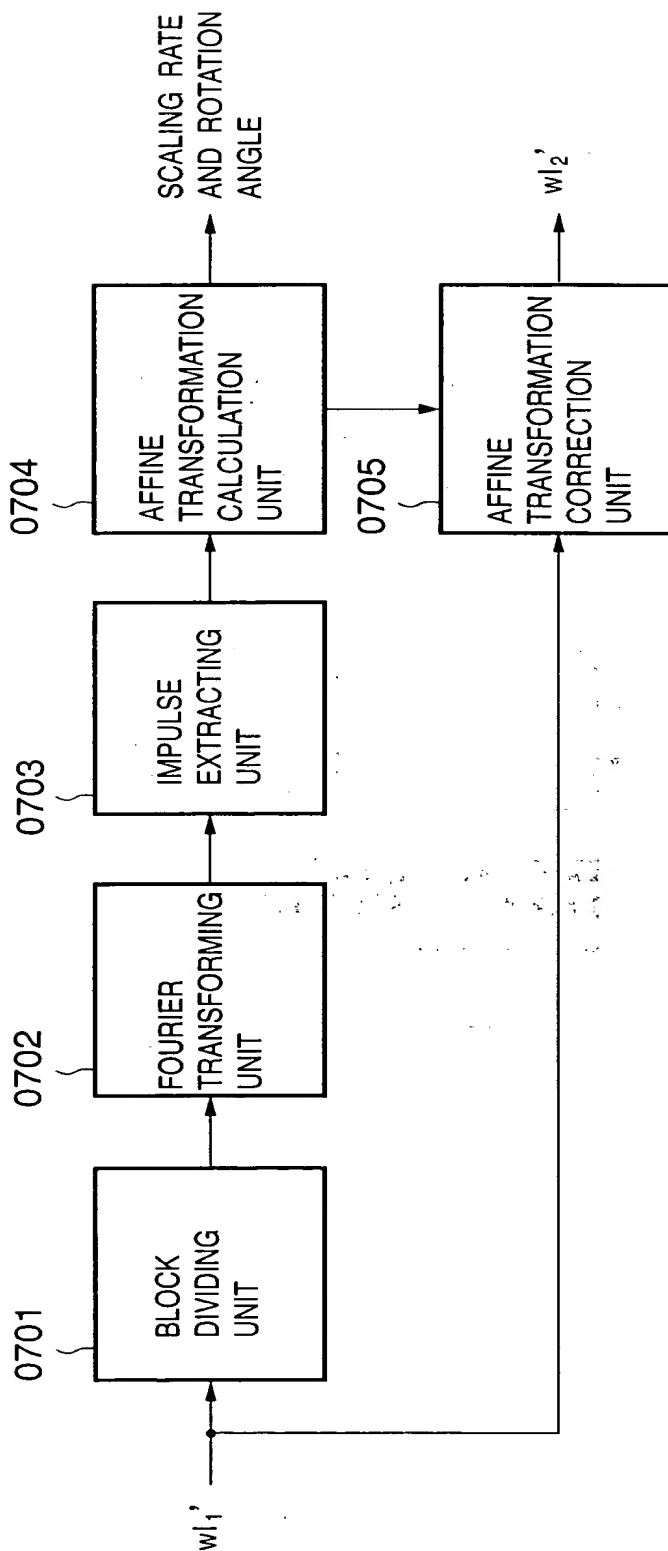


FIG. 7



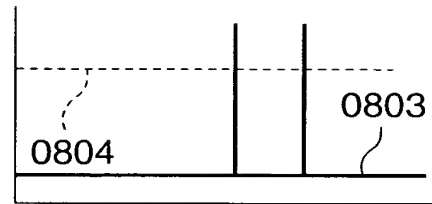
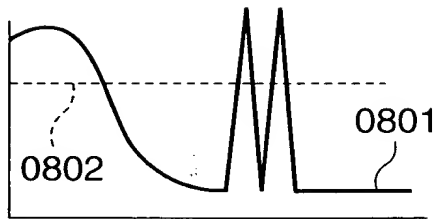
[illegible]

FIG. 9

0901

+c	+c	+c	+c	0	0	0	0
+c	+c	+c	+c	0	0	0	0
+c	+c	+c	+c	0	0	0	0
+c	+c	+c	+c	0	0	0	0
0	0	0	0	-c	-c	-c	-c
0	0	0	0	-c	-c	-c	-c
0	0	0	0	-c	-c	-c	-c
0	0	0	0	-c	-c	-c	-c

FIG. 10

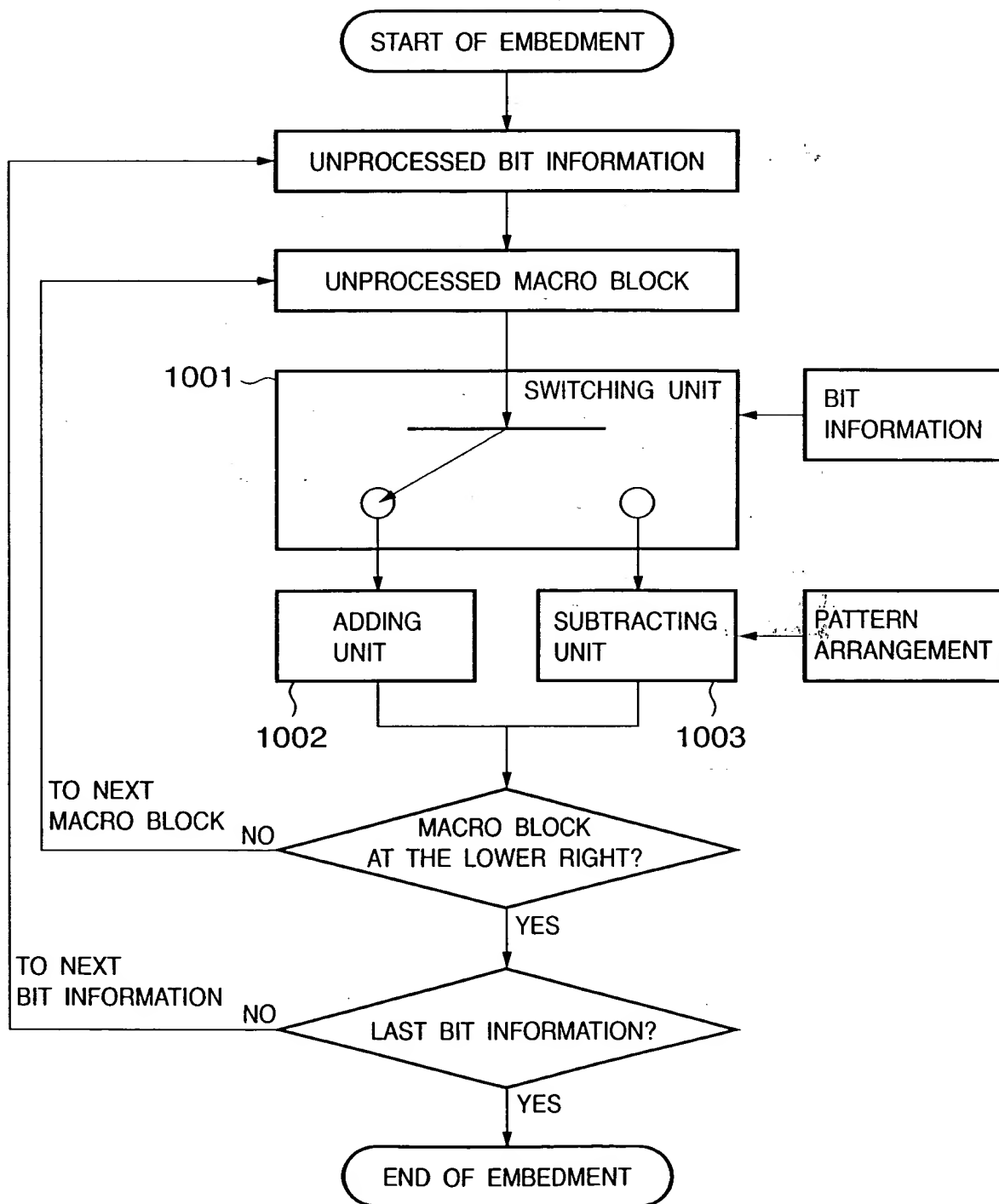


FIG. 11

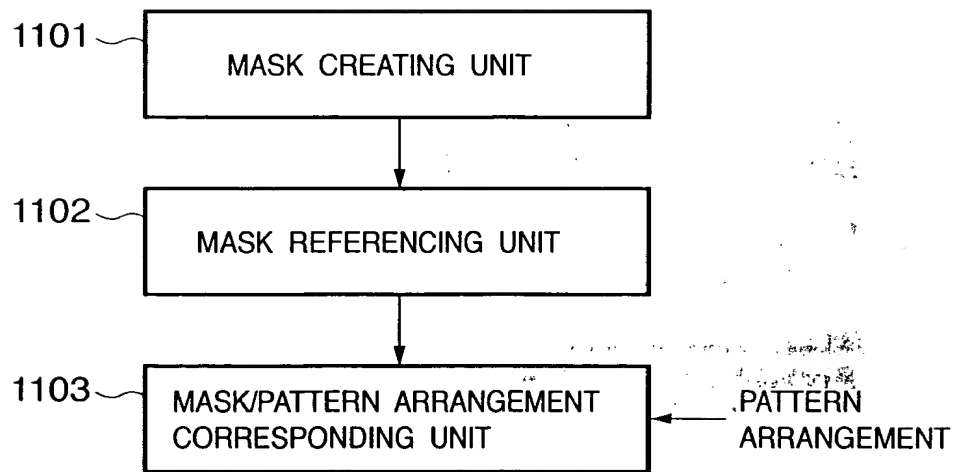
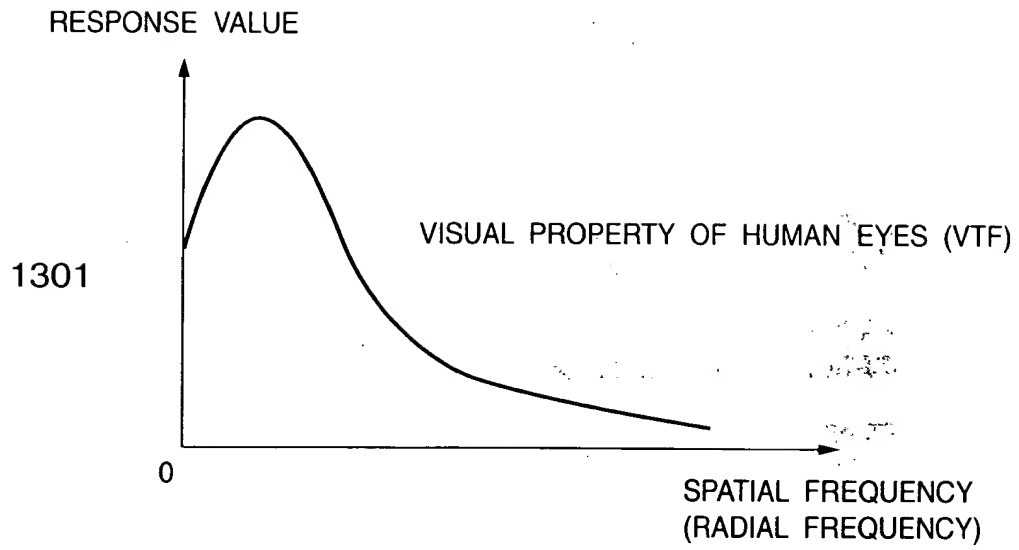


FIG. 13



104040-34242860

FIG. 14A

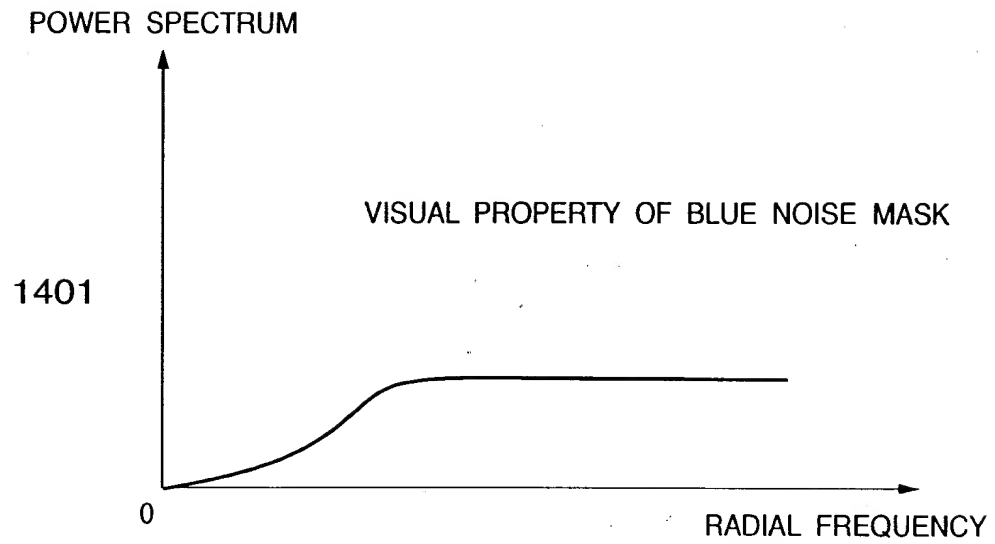


FIG. 14B

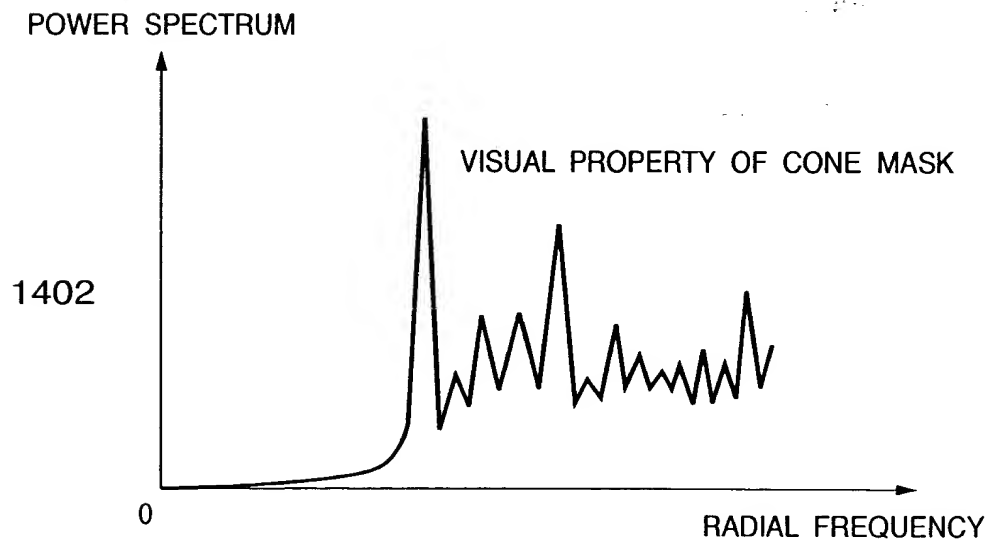


FIG. 15

1501

0	14	13	3
11	5	6	8
7	9	10	4
12	2	1	15

FIG. 16

1601

0	14	13	3
11	5	6	8
7	9	10	4
12	2	1	15

FIG. 17B

1702

1703

0	14	13	3
11	5	6	8
7	9	10	4
12	2	1	15

[illegible]

FIG. 18A

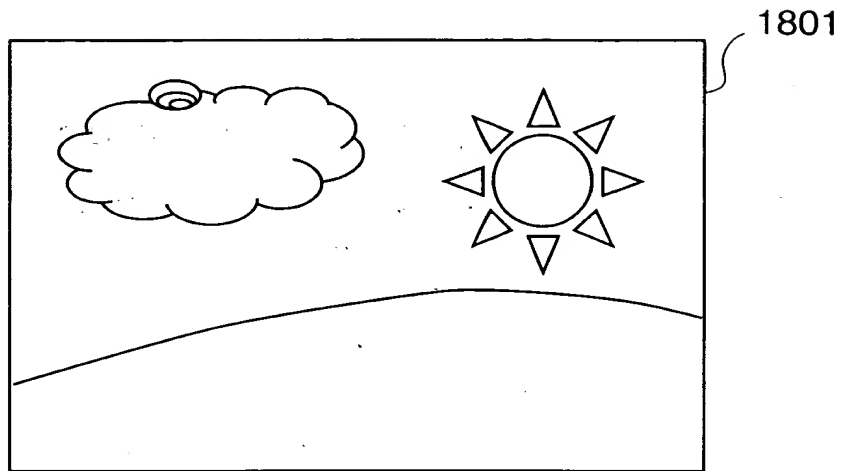


FIG. 18B

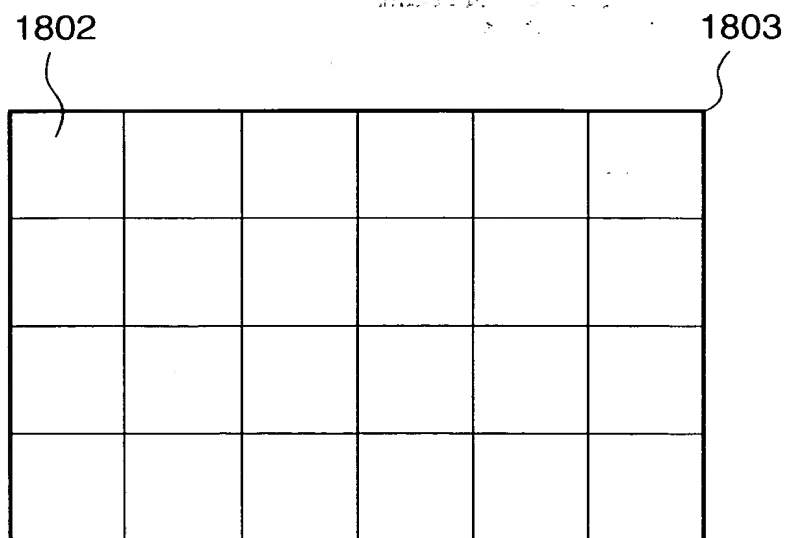


FIG. 19

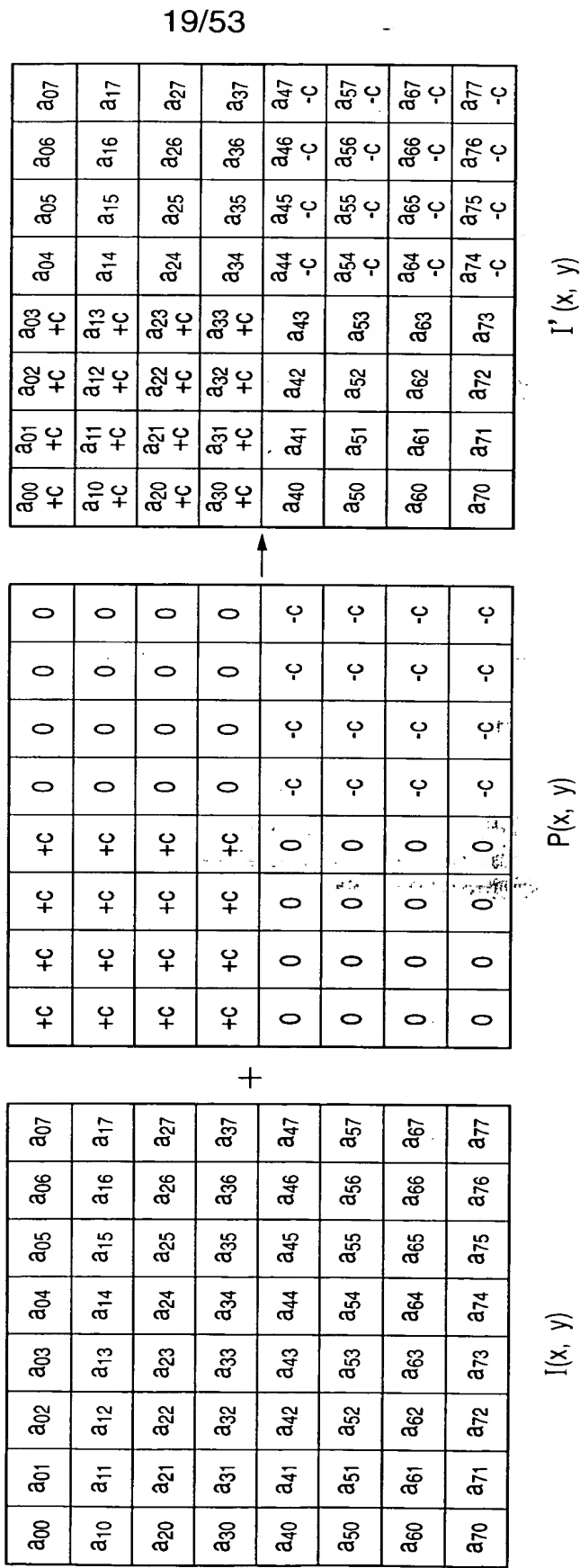


FIG. 20

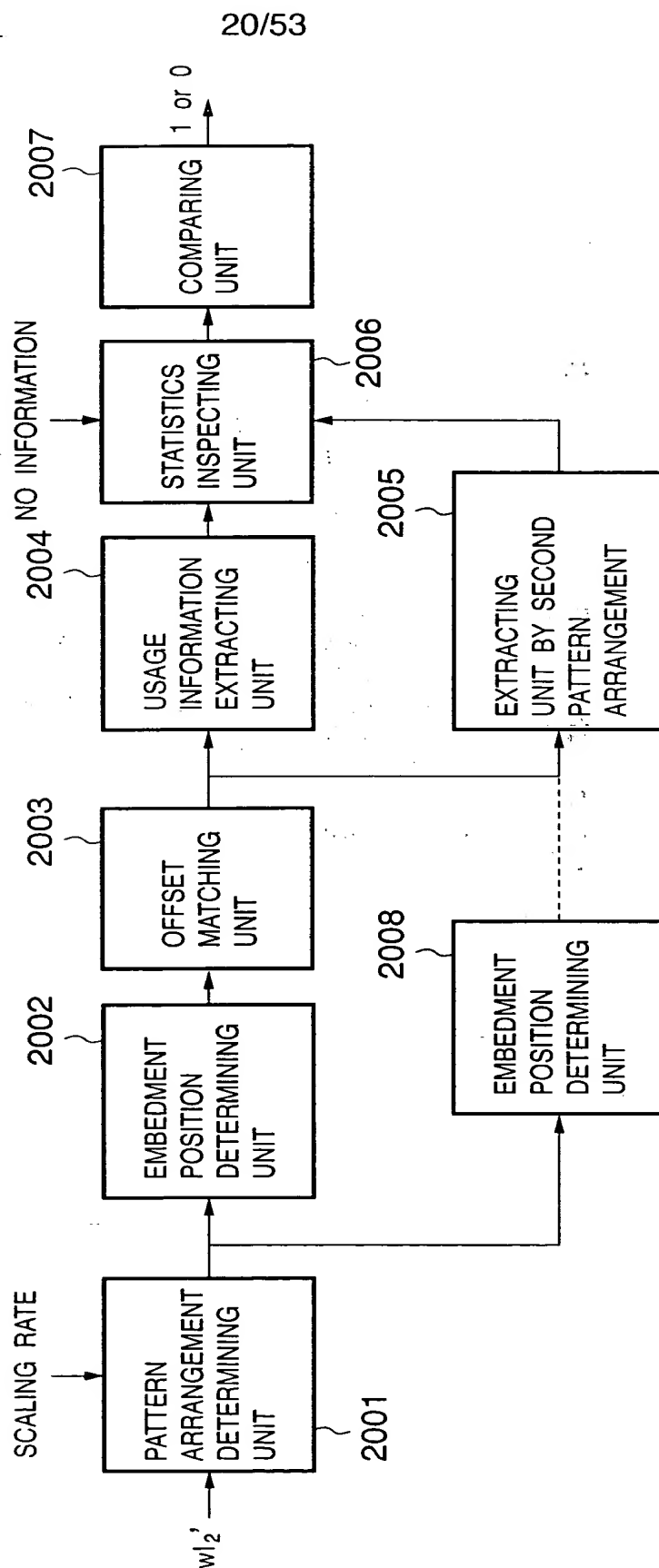


FIG. 21

$I''(x, y)$								CONVOLUTION								$P(x, y)$							
a00	a01	a02	a03	a04	a05	a06	a07	+c	+c	+c	+c	+c	0	0	0	0	0						
a10	a11	a12	a13	a14	a15	a16	a17	+c	+c	+c	+c	+c	0	0	0	0	0						
a20	a21	a22	a23	a24	a25	a26	a27	+c	+c	+c	+c	+c	0	0	0	0	0						
a30	a31	a32	a33	a34	a35	a36	a37	+c	+c	+c	+c	+c	0	0	0	0	0						
a40	a41	a42	a43	a44	a45	a46	a47	0	0	0	0	0	-c	-c	-c	-c	-c						
a50	a51	a52	a53	a54	a55	a56	a57	0	0	0	0	0	-c	-c	-c	-c	-c						
a60	a61	a62	a63	a64	a65	a66	a67	0	0	0	0	0	-c	-c	-c	-c	-c						
a70	a71	a72	a73	a74	a75	a76	a77	0	0	0	0	0	-c	-c	-c	-c	-c						

\otimes

$= 32c^2$

FIG. 22

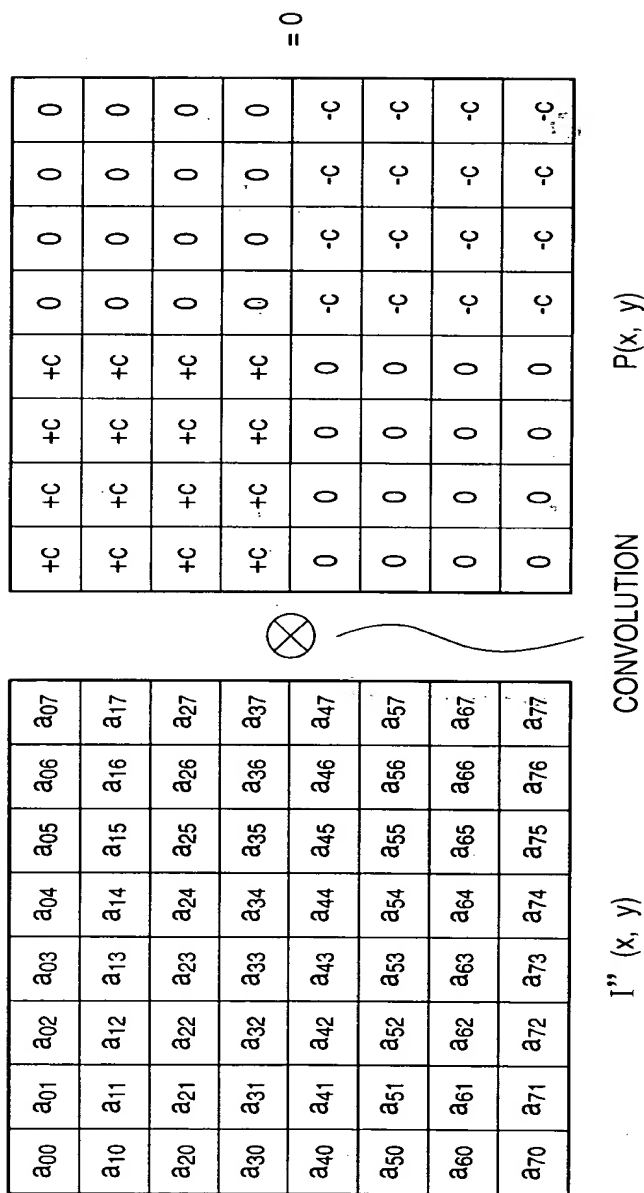


FIG. 23

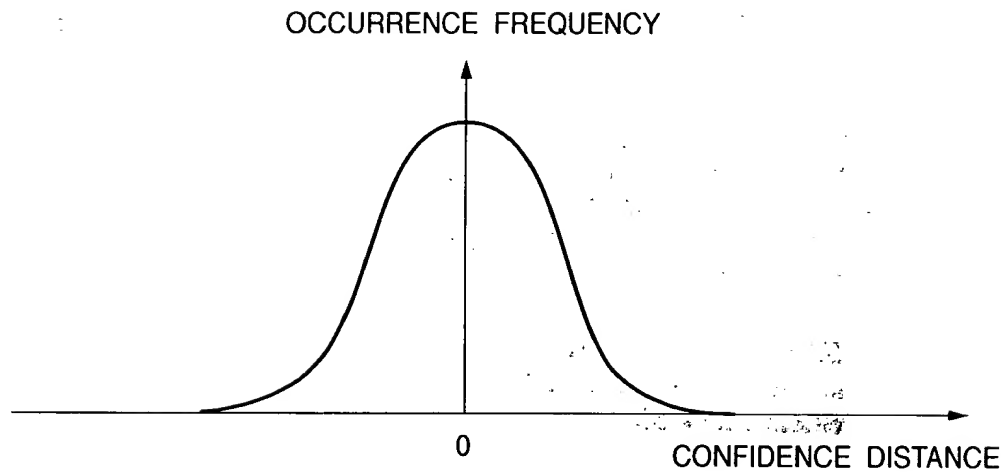


FIG. 24

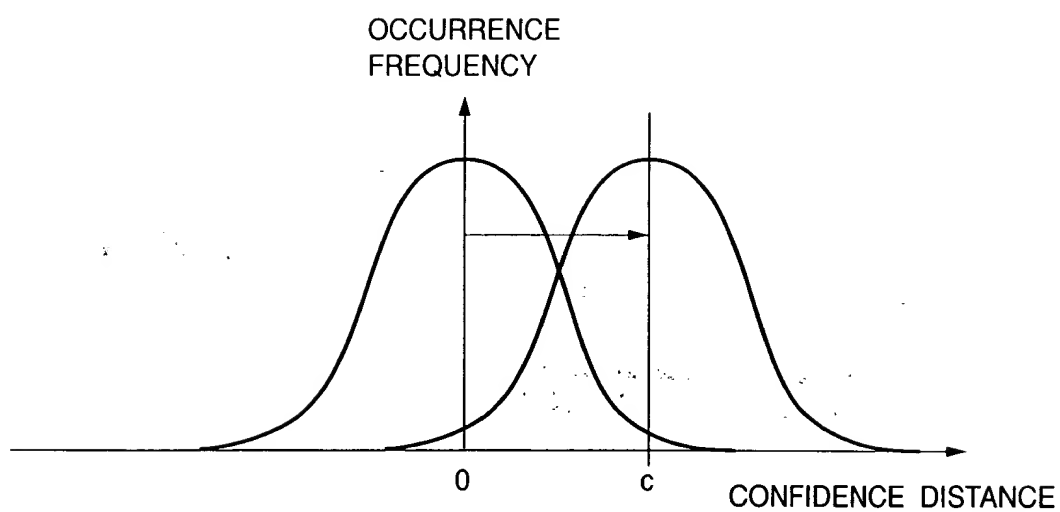


FIG. 24

FIG. 25

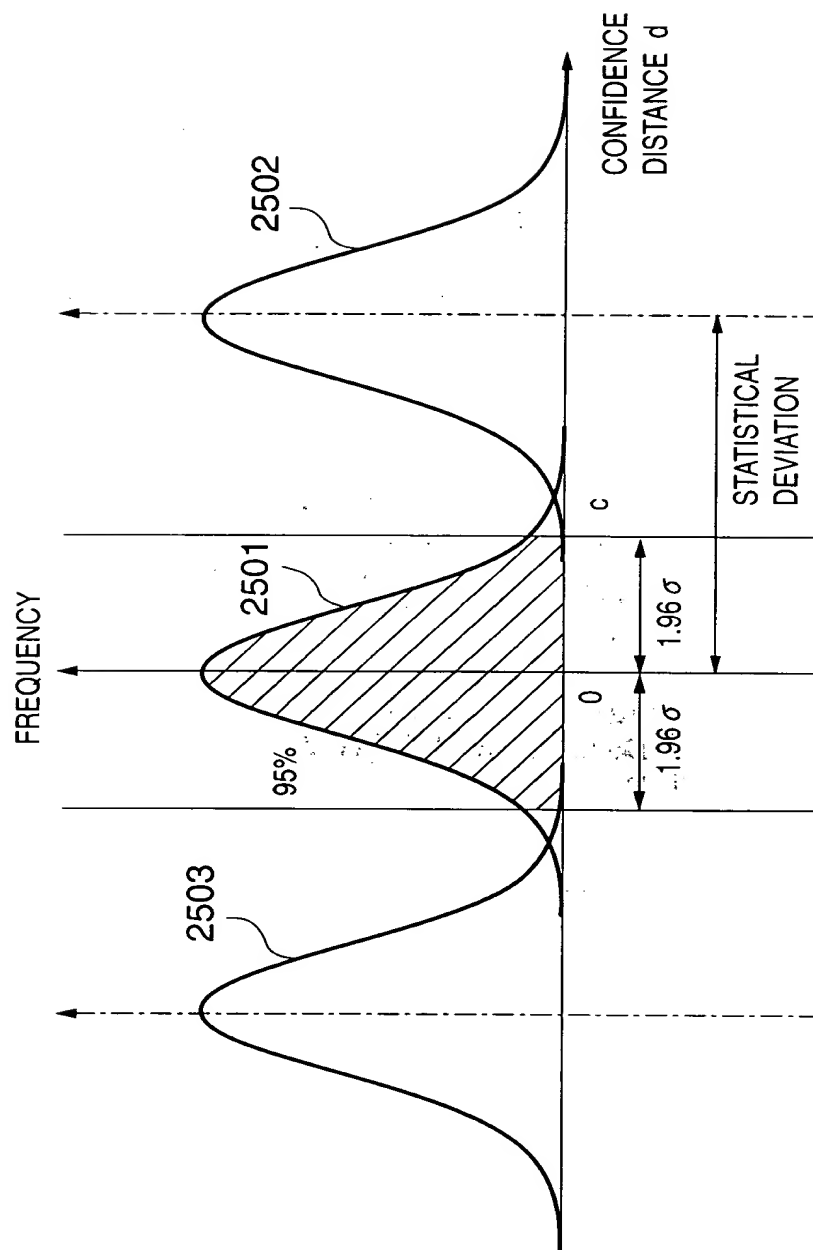


FIG. 26

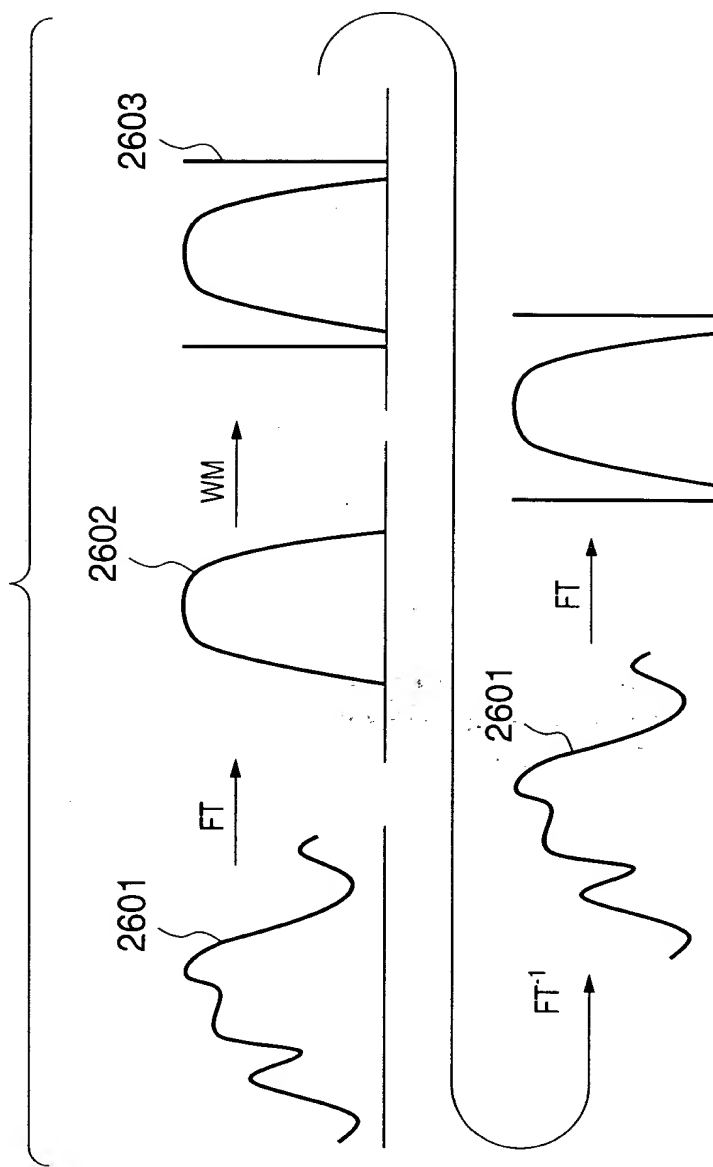


FIG. 27A

FIG. 27B

FIG. 27C

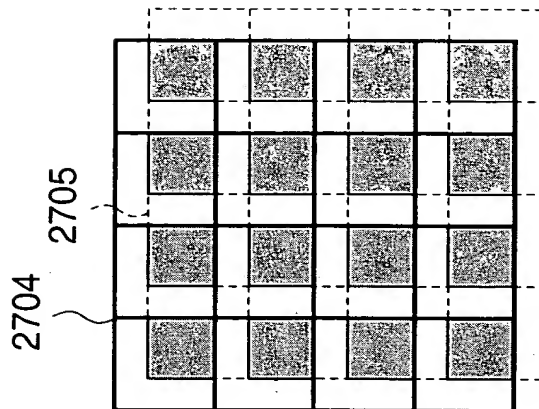
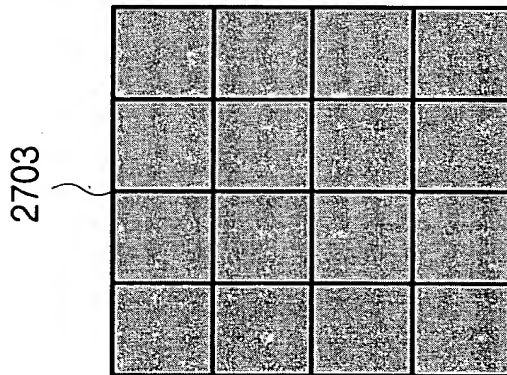
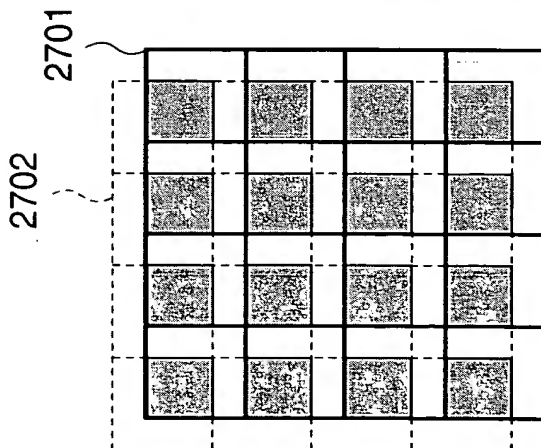


FIG. 28

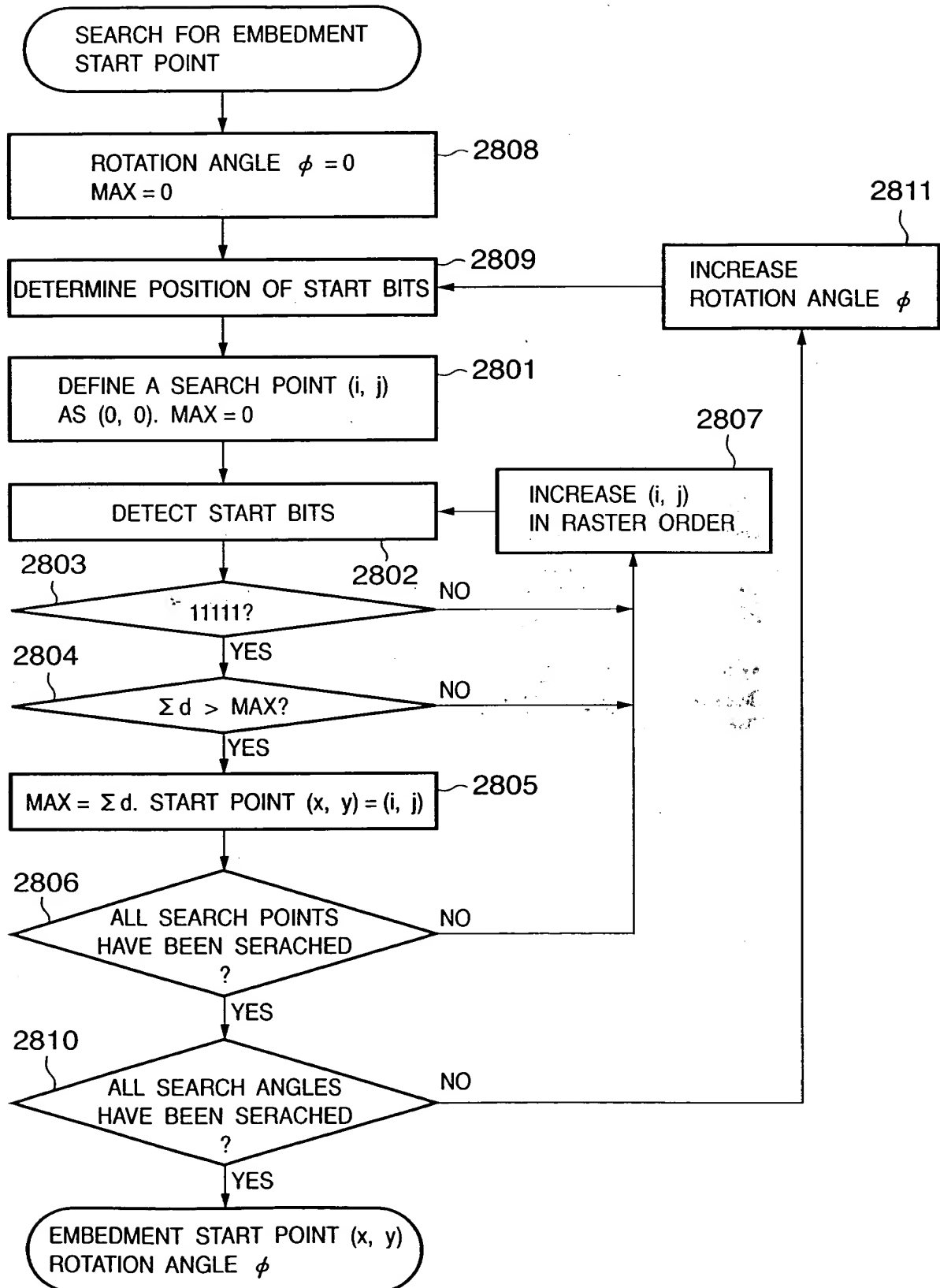


FIG. 29

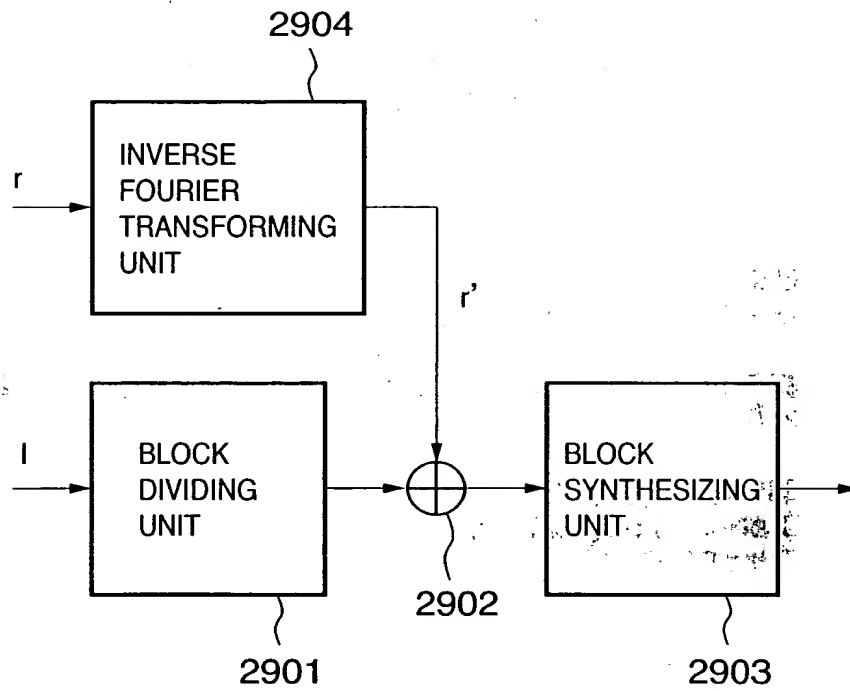


FIG. 30

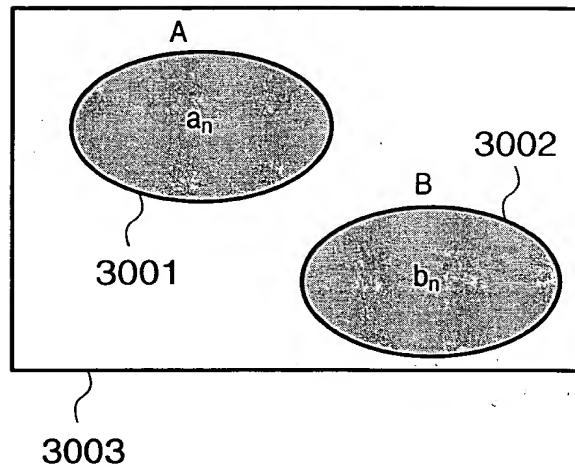


FIG. 31

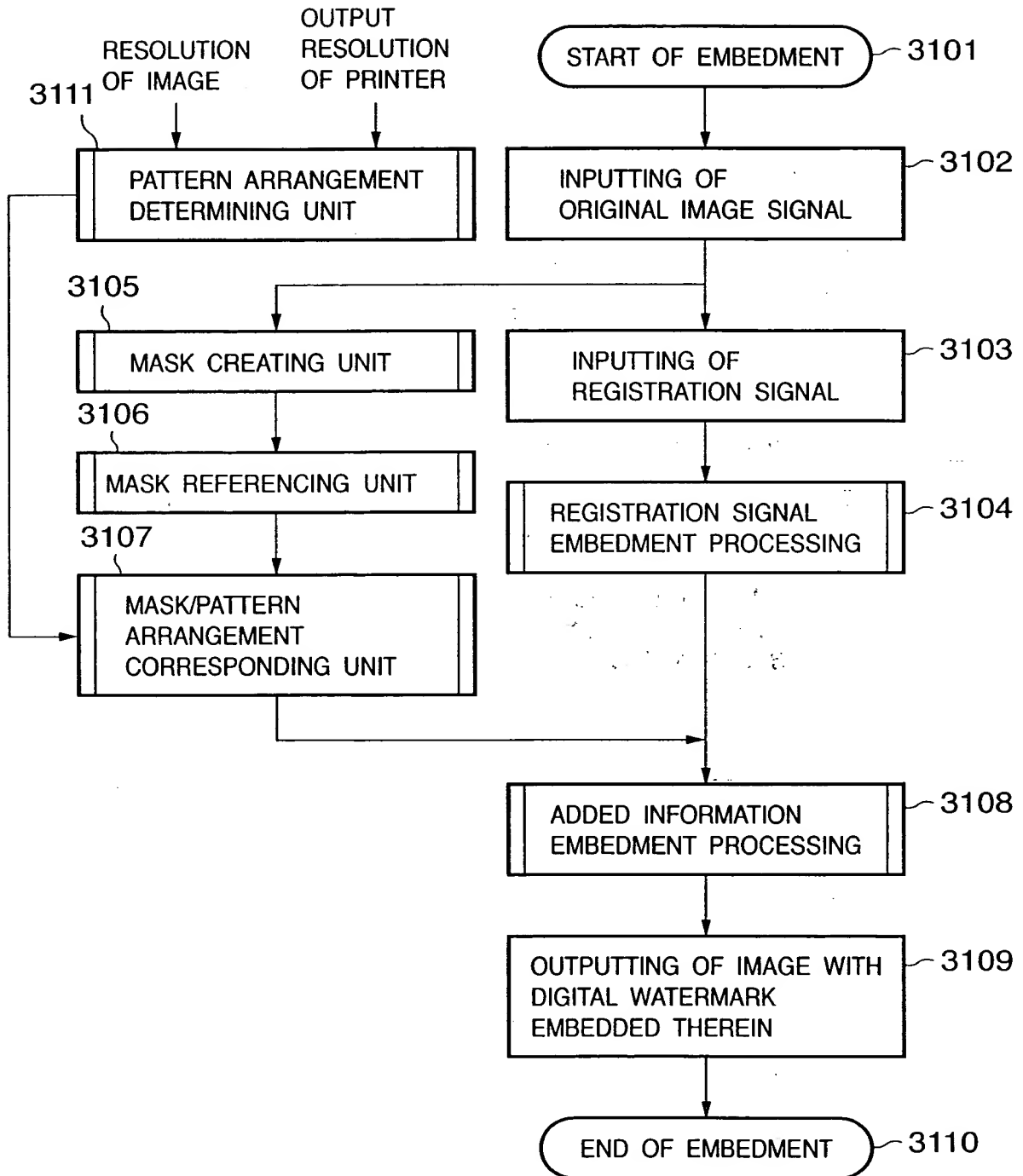


FIG. 32

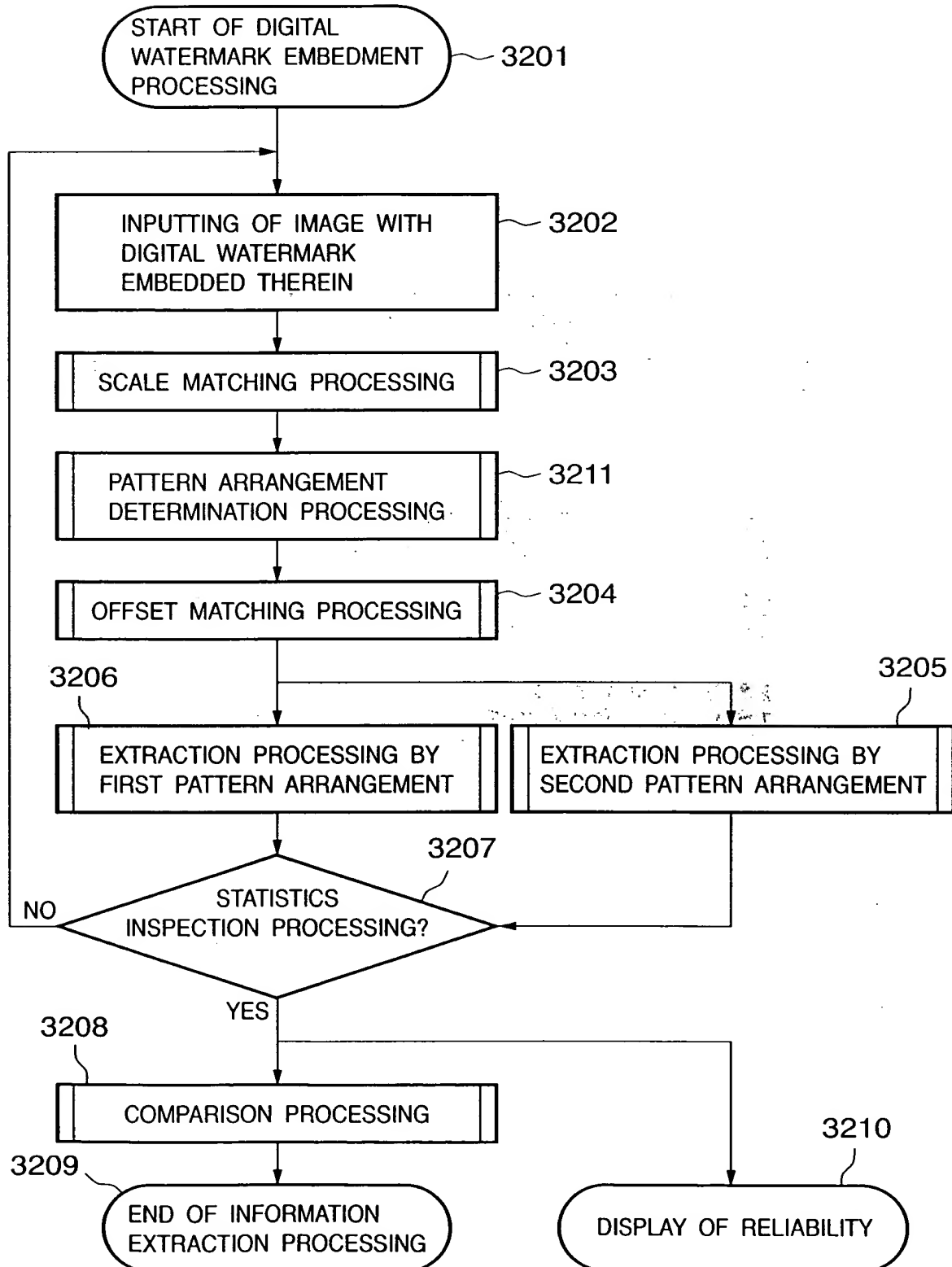


FIG. 33A

3301

0	0	0	0	+c	+c	+c	+c
0	0	0	0	+c	+c	+c	+c
0	0	0	0	+c	+c	+c	+c
0	0	0	0	+c	+c	+c	+c
-c	-c	-c	-c	0	0	0	0
-c	-c	-c	-c	0	0	0	0
-c	-c	-c	-c	0	0	0	0
-c	-c	-c	-c	0	0	0	0

FIG. 33B

3302

-c	-c	0	0	0	0	-c	-c
-c	-c	0	0	0	0	-c	-c
0	0	+c	+c	+c	+c	0	0
0	0	+c	+c	+c	+c	0	0
0	0	+c	+c	+c	+c	0	0
0	0	+c	+c	+c	+c	0	0
-c	-c	0	0	0	0	-c	-c
-c	-c	0	0	0	0	-c	-c

FIG. 35A

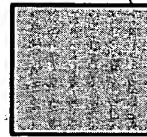
3501



FIRST EMBEDMENT
POSITION REFERENCE MASK

FIG. 35B

3502



SECOND EMBEDMENT
POSITION REFERENCE MASK

2010-03-27-2010

FIG. 36

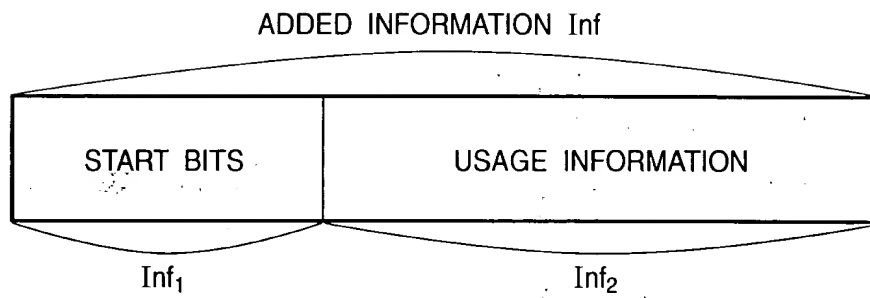


FIG. 37

69	211	9	217	16	35	190	101
87	197	109	180	117	212	71	114
166	28	55	143	104	146	85	130
64	206	179	48	240	232	108	154
67	40	91	224	37	32	223	194
203	214	106	231	169	4	208	24
47	195	27	61	2	155	81	213
251	84	202	184	170	10	46	138

COEFFICIENT LAYOUT OF BLUE NOISE MASK (PARTIAL)

FIG. 38

73	244	124	207	70	254	117	196
38	177	11	132	43	186	4	138
104	221	93	231	100	211	85	237
23	151	55	165	26	153	56	172
67	250	113	193	79	240	123	203
47	188	1	142	33	183	14	128
96	215	83	232	111	218	91	227
28	157	60	171	17	147	51	160

COEFFICIENT LAYOUT OF CONE MASK (PARTIAL)

FIG. 39

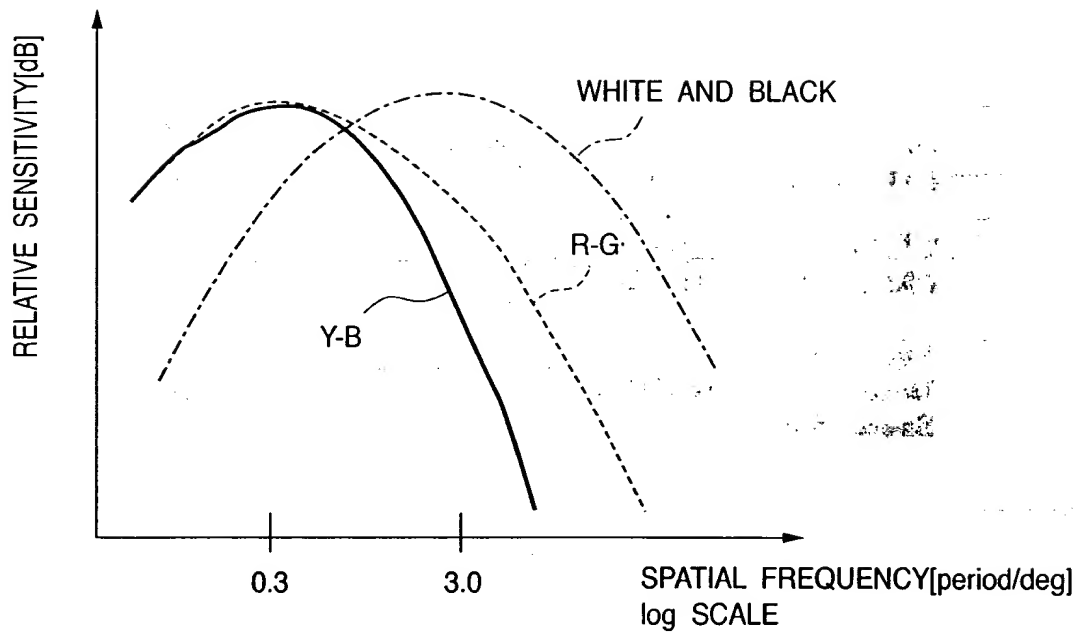
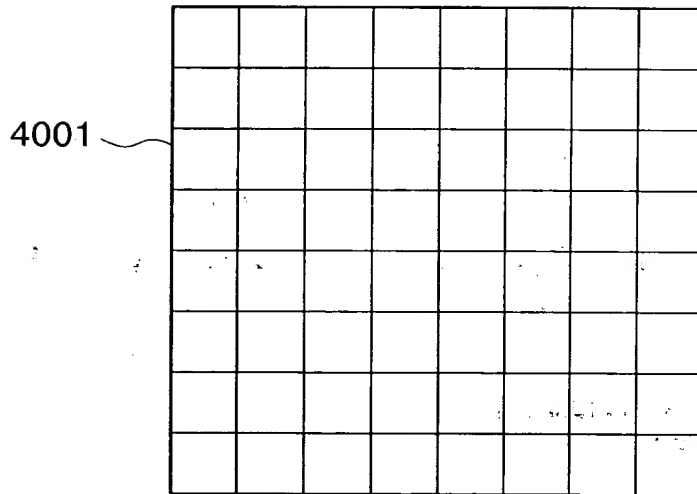


FIG. 40



MINIMUM CODING UNIT (MCU)

FIG. 41

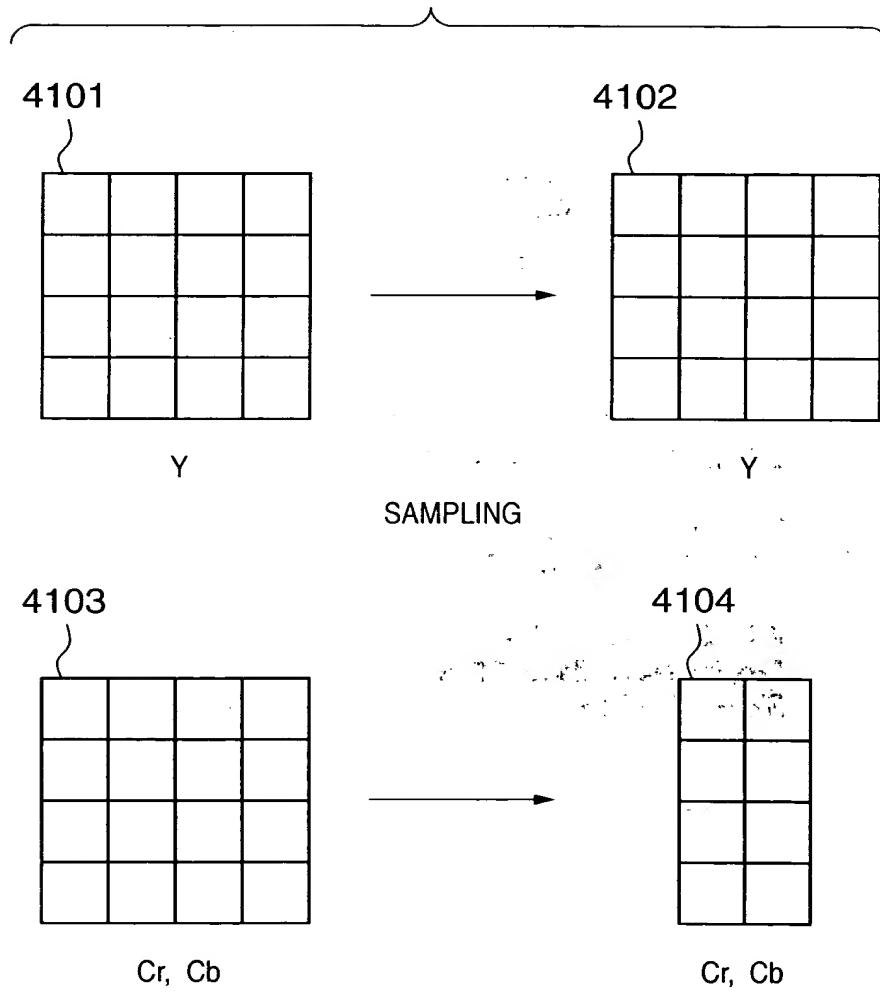


FIG. 42

4201

+C	+C	+C	+C	0	0	0	0
+C	+C	+C	+C	0	0	0	0
+C	+C	+C	+C	0	0	0	0
+C	+C	+C	+C	0	0	0	0
0	0	0	0	-C	-C	-C	-C
0	0	0	0	-C	-C	-C	-C
0	0	0	0	-C	-C	-C	-C
0	0	0	0	-C	-C	-C	-C

4202

FIG. 43

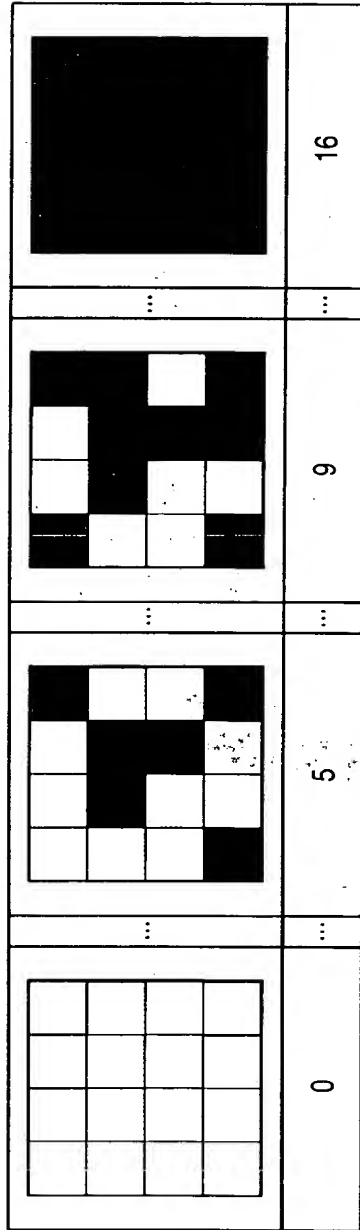


FIG. 44

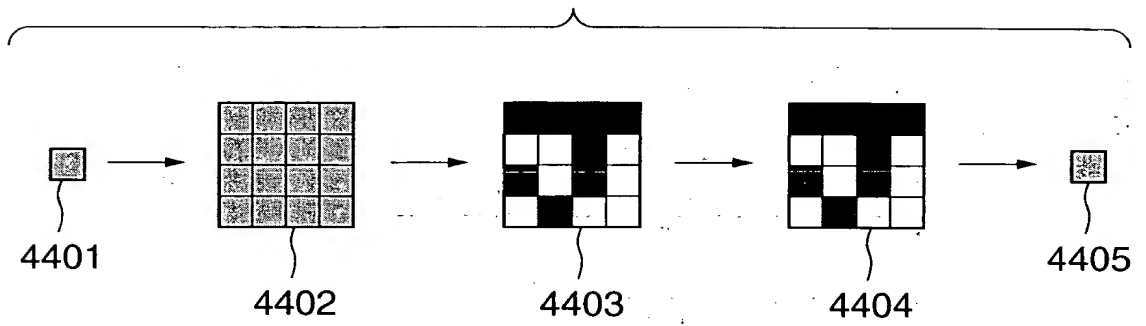


FIG. 45A

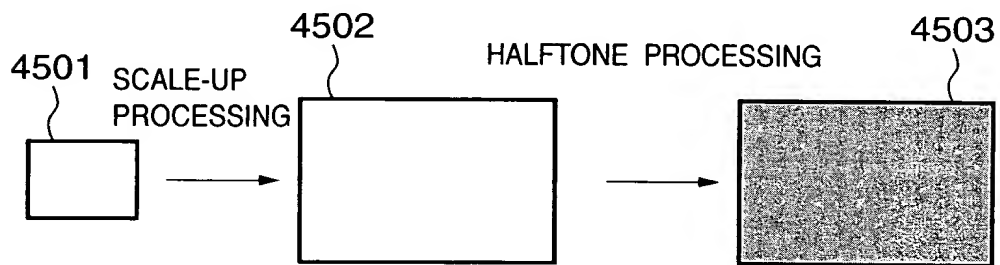


FIG. 45B

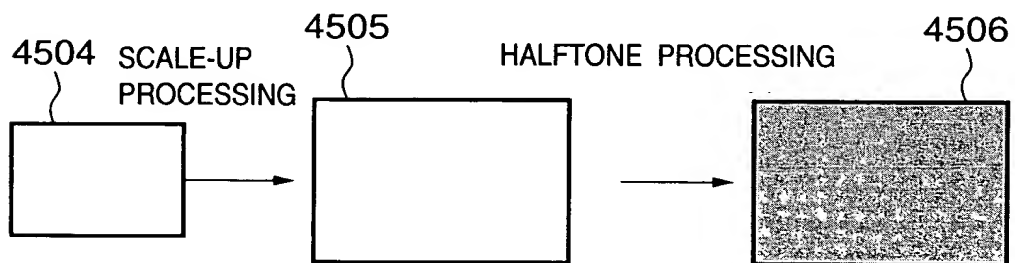


FIG. 46

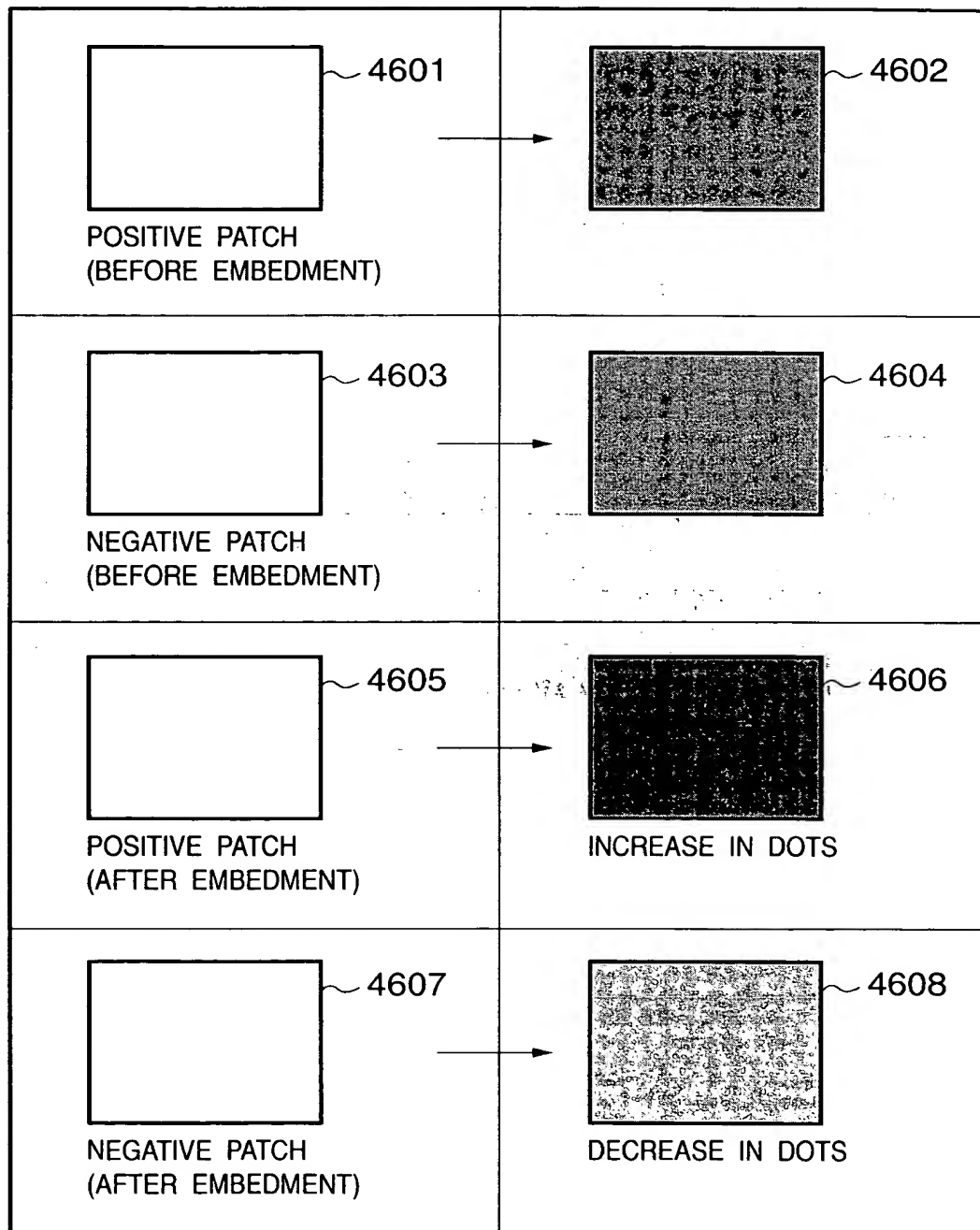


FIG. 47

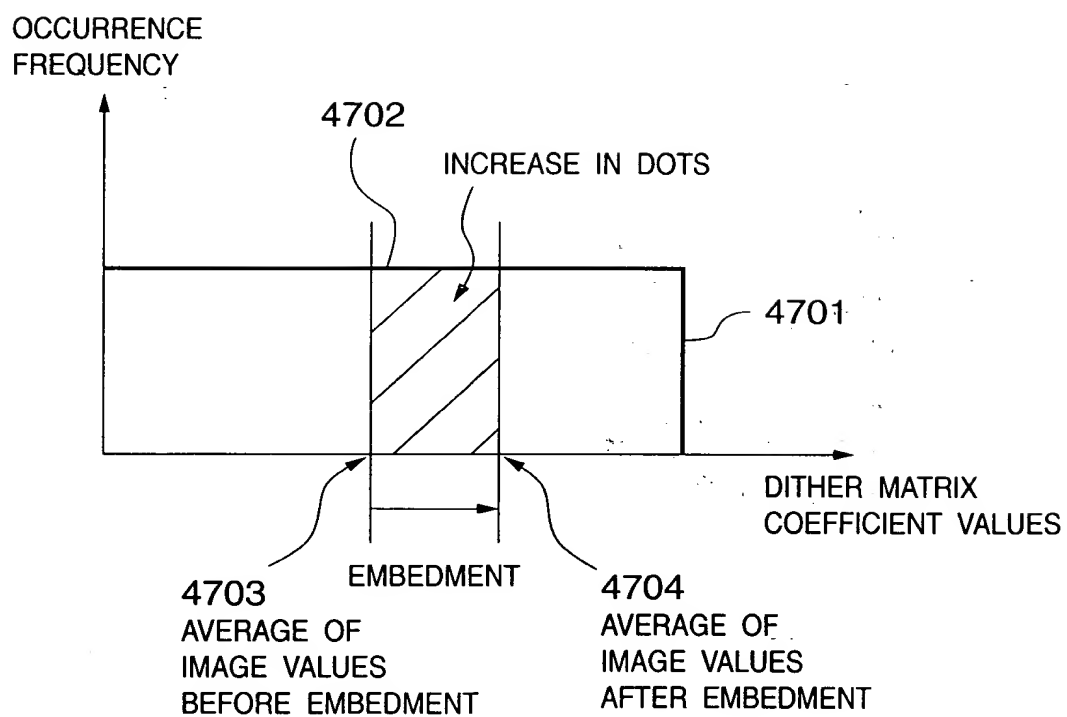


FIG. 48A

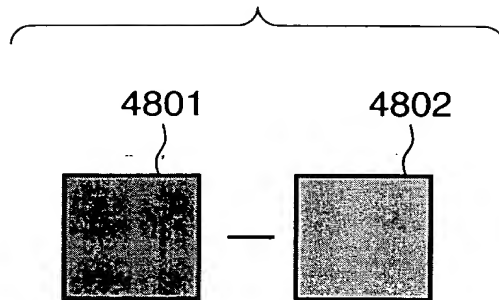
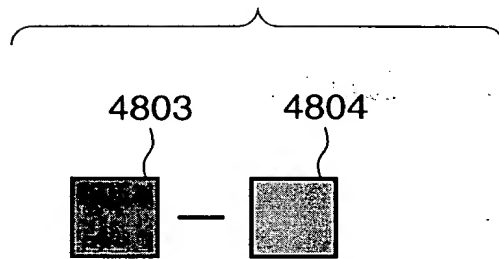


FIG. 48B



DIFFERENTIAL OF PATTERN
ARRANGEMENT UNITS

TOHOTO SHIMIZU

FIG. 49A

4901

+C	+C	+C	+C	0	0	0	0
+C	+C	+C	+C	0	0	0	0
+C	+C	+C	+C	0	0	0	0
+C	+C	+C	+C	0	0	0	0
0	0	0	0	-C	-C	-C	-C
0	0	0	0	-C	-C	-C	-C
0	0	0	0	-C	-C	-C	-C
0	0	0	0	-C	-C	-C	-C

FIG. 49C

4902

0	0	0	0	+C	+C	+C	+C
0	0	0	0	+C	+C	+C	+C
0	0	0	0	+C	+C	+C	+C
0	0	0	0	+C	+C	+C	+C
-C	-C	-C	-C	0	0	0	0
-C	-C	-C	-C	0	0	0	0
-C	-C	-C	-C	0	0	0	0
-C	-C	-C	-C	0	0	0	0

FIG. 49B

4903

+C	+C	+C	+C	+C	+C	0	0	0	0	0	0
+C	+C	+C	+C	+C	+C	0	0	0	0	0	0
+C	+C	+C	+C	+C	+C	0	0	0	0	0	0
+C	+C	+C	+C	+C	+C	0	0	0	0	0	0
+C	+C	+C	+C	+C	+C	0	0	0	0	0	0
+C	+C	+C	+C	+C	+C	0	0	0	0	0	0
0	0	0	0	0	0	-C	-C	-C	-C	-C	-C
0	0	0	0	0	0	-C	-C	-C	-C	-C	-C
0	0	0	0	0	0	-C	-C	-C	-C	-C	-C
0	0	0	0	0	0	-C	-C	-C	-C	-C	-C
0	0	0	0	0	0	-C	-C	-C	-C	-C	-C
0	0	0	0	0	0	-C	-C	-C	-C	-C	-C

FIG. 49D

4904

0	0	0	0	0	0	-C	-C	-C	-C	-C	-C
0	0	0	0	0	0	-C	-C	-C	-C	-C	-C
0	0	0	0	0	0	-C	-C	-C	-C	-C	-C
0	0	0	0	0	0	-C	-C	-C	-C	-C	-C
0	0	0	0	0	0	-C	-C	-C	-C	-C	-C
0	0	0	0	0	0	-C	-C	-C	-C	-C	-C
+C	+C	+C	+C	+C	+C	0	0	0	0	0	0
+C	+C	+C	+C	+C	+C	0	0	0	0	0	0
+C	+C	+C	+C	+C	+C	0	0	0	0	0	0
+C	+C	+C	+C	+C	+C	0	0	0	0	0	0
+C	+C	+C	+C	+C	+C	0	0	0	0	0	0
+C	+C	+C	+C	+C	+C	0	0	0	0	0	0

FIG. 50A

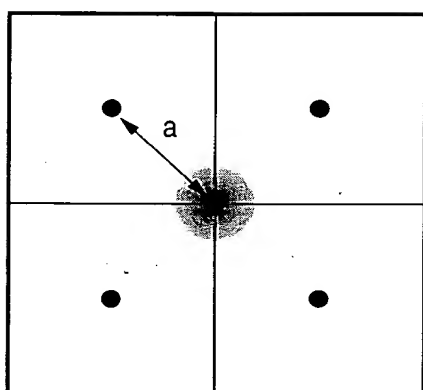


FIG. 50B

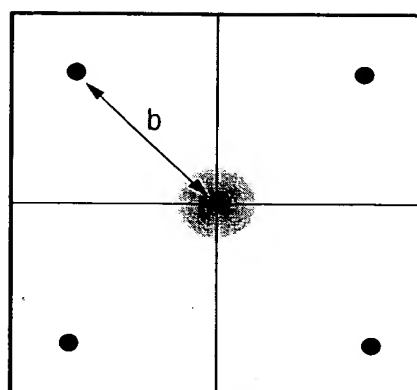


FIG. 51A

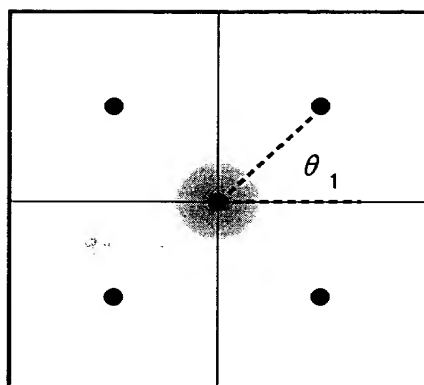


FIG. 51B

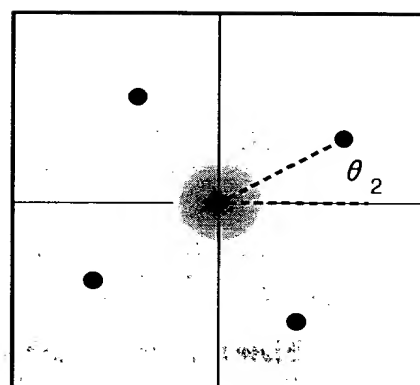


FIG. 52

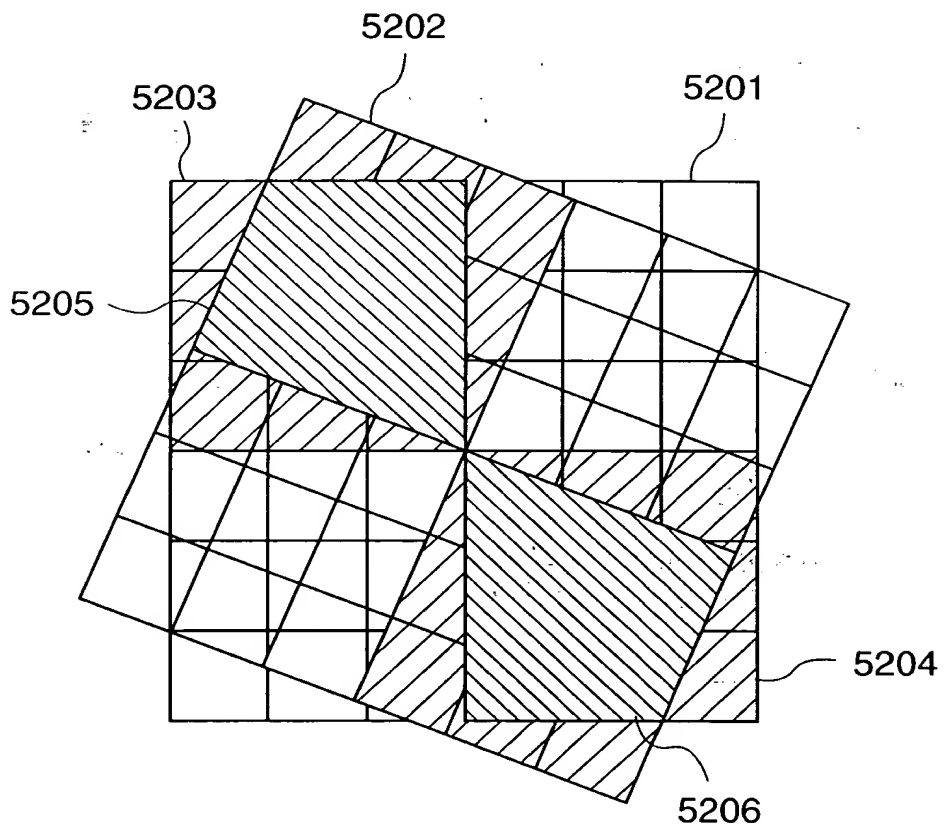


FIG. 53